

FİZİKA

MƏMMƏD HÜSEYNƏLİYEV,
SARA YASİNOVA,
LEYLA İBRAHİMOVA
AMEA Naxçıvan Bölümü
E-mail: mamedhuss@mail.ru

KİMYƏVİ ÇÖKDÜRƏMƏ YOLU İLƏ ALINMIŞ PbS NAZİK TƏBƏQƏLƏRİNİN OPTİK XASSƏLƏRİNƏ TRİETANOLAMİN KOMONENTİNİN TƏSİRİ

Kimyəvi çökdürmə prosesində məhlulda trietanolaminin miqdarını dəyişdikdə alınmış PbS nazik təbəqələrinin optik xassaları müqayisəli təhlil olunmuşdur. Optik udma spektrinə əsasən müzayidə edilmişdir ki, qarışq məhlulda trietanolaminin miqdarı artırıqca alınan PbS nazik təbəqəsinin qadağan olunmuş zonası kiçik enerjilər tərəfə sürütür və məhlulda trietanolaminin iştirak etmədiyi halda bu kəmiyyət maksimum $E(T_0) = 3,92 \text{ eV}$ qiyomızını alır.

Açar sözlər: kimyəvi çökdürmə, nazik təbəqə, PbS, trietanolamin, müqayisəli təhlil, Tauç düsturu, funksional qrup, optik udma spektri, qadağan olunmuş zona.

Qurğuşun sulfid (PbS) birləşməsi və nazik təbəqəsi infraqırmızı detektor materialı kimi [1, 2], nanotexnologiyada tətbiq imkanlarına görə [3], fototermik çeviricilərdə seletiv örtük materialı kimi [4] və günəş elementlərində [5] istifadəsinə görə son vaxtlar intensiv şəkildə öyrənilməyə başlanılmışdır. Bundan başqa PbS-in nazik təbəqəsi alternarkan onun CdS-lə birlikdə çökdürlülmə şəraitində tərkibdə PbS-in faizindən asılı olaraq tamamilə yeni xassələrə malik yarımkənci materiallar almaq mümkündür [6, 7].

Ümumiyyətlə PbX (X = S, Se, Te) xalkogenidlərinin xassalları bütün digər yarımkənci material kimi kristallik haldan nanostruktur halına keçərkən xeyli dəyişir və nazik təbəqələr şəkildə onlar infraqırmızı fotoqəbuləcildilərin və detektorların spektral diapazonlarının genişləndirilməsində, gecə görmə cihazlarında, günəş batareyalarında və optik çeviricilərdə istifadə oluna bilərlər. Bu xalkogenidlərin qadağan olunmuş zonaları yüksək dərəcədə kristallik ölçülərdən asılı olduqlarından günəş elementlərində uduz kimi istifadə üçün çox əlverişli material hesab olunurlar. Aktiv təbəqə olaraq PbS [8, 9], PbSe [10], PbS_xSe_{1-x} [11] nanokristallarından ibarət olan əlverişli günəş elementlərinin hazırlanması haqqında məlumat vardır. Hətta PbX nanostrukturlarının öz aralarında keçidə əsaslanan günəş elementləri hazırlanmışdır [12, 13]. PbX birləşmələrinin belə geniş tədqiq olunmların bir səbəbi deyildir ki, bütün digər yarımkənci birləşmələrdən fərqli olaraq onları qadağan olunmuş zonalarının temperatur əmsalları müsbətdir (məsələn PbS üçün $\beta = 4 \cdot 10^{-4} \text{ eV/K}$) [14].

PbS nazik təbəqəsinin kimyəvi çökdürmə yolu ilə alınması üçün istifadə olunan məhlul aşağıdakı qaydada hazırlanmış məhlulların hər birindən eyni qədər (həcm ölçüsü ilə) götürülməklə hazırlanır: qurğuşun asetat $\text{Pb}(\text{CH}_3\text{COO})_2 - 0,07 \text{ M}$; natrium hidrok-

sid (NaOH) – 0,3 M; trietanolamin $\text{N}(\text{CH}_2\text{CH}_2\text{OH})_3 - 0,06 \text{ M}$; tiomoçevina $(\text{NH}_2)_2\text{CS} - 0,17 \text{ M}$. Kimyəvi çökdürmə prosesi 60 ml-lıq laboratoriya stakanının içərisində 40°C-də aparılmışdır. Məhlulun içərisinə əvvəlcədən saqılı vəziyyətdə şüş alılıq yerləşdirilir və bütün proses müddətində məhlul maqnit qarışdırıcı ilə daima qarışdırılır. 20 dəqiqədən sonra şüş alılıq məhluldan çıxarılır və distilla suyunda yuyularaq qurudur.

Trietanolaminin məhlulda miqdarının alınan PbS nazik təbəqəsinin xassələrinə nə kimi təsisi göstərməsinə aydınlıq gətirmək üçün üç müxtəlis nümunə hazırlanmışdır: N – trietanolamin məhlulunun 0,06 M olaraq hazırlanmasından alınan nazik təbəqə;

T4 – trietanolamin məhlulunun 0,24 M, yəni dörd dəfə qatı hazırlanmasından alınan nazik təbəqə;

T0 – qarışq məhlulda trietanolaminin iştirak etmədiyi halda alınan nazik təbəqə.

Hər üç halda şüş üzərində bircins və yaxşı adheziyyaya malik, qəhvəyi rəngli PbS nazik təbəqələri alınmışdır.

Nazik təbəqələrin alınması prosesində asas kütlə olaraq məhluldan çöküntü şəklinde ayrılan PbS narın tozunun çəkisi təyin edilərək hər üç hal üçün məhluldaqı qurğuşun asetat komponentinə əsasən alınan PbS birləşməsinin çıxımı müəyyən edilmişdir. Həmin nəticələr aşağıdakı cədvəldə göstərilmişdir.

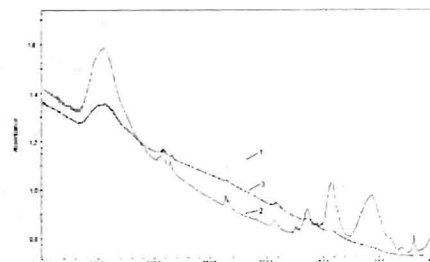
Cədvəl

Məhluldakı qurğuşun asetat komponentinə əsasən PbS birləşməsinin çıxımı

S. №	Nümunə	PbS birləşməsinin çıxımı, %
1.	T0	98,6
2.	N	90,9
3.	T4	47,4

Süşə alılıq üzərində alınmış PbS nazik təbəqələrinin optik xassələrini öyrənmək üçün "Nikolet IS-10" infraqırmızı spektrofotometrində istifadə edilmişdir. Lakin infraqırmızı oblastda şüşə alılığın fonundan PbS nazik təbəqəsinin spektrini ayırd etmək mümkün olmadığında kimyəvi çökdürmə üsulu ilə aldığımız PbS nazik təbəqələrinin şüşə üzərindən mehaniki yolla ayırmalı alınmış PbS narın tozunun (dolayısi ilə PbS nazik təbəqəsinin) optik xassələri öyrənilmişdir.

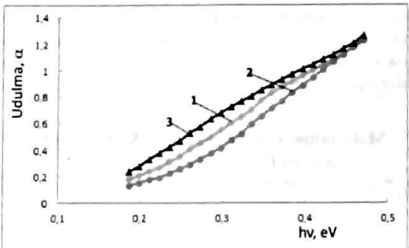
Şəkil 1-də kimyəvi çökdürmə üsulu ilə aldığımız T4, N və T0 (şəkildə uyğun olaraq 1, 2 və 3 ilə işarələnmişdir) PbS nazik təbəqələrinin infraqırmızı spektr oblastında mövcud olan funksional qrupların piklərinin fonunda optik udma spektrləri göstərilmişdir.



Şəkil 1. Kimyəvi çökdürmə yolu ilə alınmış T4 (1), N (2), T0 (3) nazik təbəqələrinin optik udma spektrləri.

Məlum olduğu kimi, infraqırmızı spektr oblastında bir sıra funksional qruplar udma spektrində müəyyən piklərin ortaya çıxmasına səbəb olur. Şəkildən göründüyü kimi hər iki asılılıqda demək olar ki, eyni funksional qruplar müşahidə olunur. Büyüt enerjilər oblastında aşkar şəkildə müşahidə olunan 3439 cm^{-1} -ə uyğun pik PbS nazik tabaqası tərəfindən udulan suyun O-H qrupuna uyğundur və suyun səth tərəfindən udulması faktı həm də bu qrupun 1629 cm^{-1} -ə uyğun pikin olması ilə təsdiq olunmuşdur. 1400 cm^{-1} ətrafında müşahidə edilən zəif pik prosesdə istifadə edilən metanolun CH_3 rəqsələri he-sabına ortaya çıxır. Bu fikir həm də 2922 cm^{-1} və 2852 cm^{-1} qiymətlərdə metanolun CH_3 rəqsələrinə aid piklərin olması ilə təsdiq olunmuşdur. Metanol qrupunun C-O rəqsələri intensiv 1050 cm^{-1} pikini verir.

Bu piklərin sonundan yalnız PbS birləşmələrinə aid olan udulma ayırd edildikdən sonra PbS nazik təbəqələri üçün $(\alpha h\nu)^2$ asılılıqları qurulmuşdur (şəkil 2).



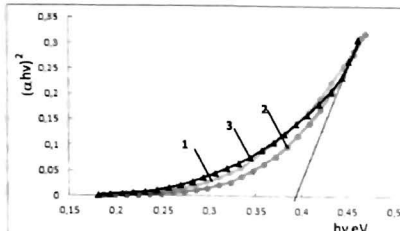
Şəkil 2. T4 (1), N (2), T0 (3) nazik təbəqələrinin infraqırmızı spektr oblastında mövcud olan funksional qrupların piklərinin sonundan ayırd edilmiş optik udma spektrləri.

Bildiyimiz kimi, yarımkəcəricinin qadağan olunmuş zonasının enini hesablamaq üçün Tauç düsturundan istifadə edilir [15]:

$$(\alpha h\nu)^{\frac{1}{2}} = A(h\nu - E_s)$$

Burada A – sabit addoddır, E_s – yarımkəcəricinin qadağan olunmuş zonasının eni. $h\nu$ – fotonun enerjisidir. n isə keçidin tipindən asılı olaraq dörd müxtəlif qiymət ala bilər. Belə ki, icazə verilmiş düz keçid üçün $n = \frac{1}{2}$, icazə verilmiş çəp keçid üçün $n = 2$, qadağan olunmuş düz keçid üçün $n = \frac{1}{2}$, qadağan olunmuş çəp keçid üçün $n = 3$ qiymətləri alır [16].

PbS düzzonali yarımkəcərici olduğundan [17] bu birləşmə üçün $n = \frac{1}{2}$ münasibəti doğrudur. Bu birləşmənin qadağan olunmuş zonasının enini tapmaq üçün $(\alpha h\nu)^{\frac{1}{2}}$ -nın $h\nu$ -dən asılılıq şıryləri qurulmuşdur (şəkil 3). Bu şırylərdən düz xətt oblastının ab-sis ($h\nu$) oxu ilə kəsişməsinə əsasən T4 (1), N (2), T0 (3) nazik təbəqələrinin qadağan olunmuş zonalarının enləri müəyyən edilmişdir.



Şəkil 3. T4 (1), N (2), T0 (3) nazik təbəqələrinin hesablanmış $(\alpha h\nu)^2 \sim f(h\nu)$ asılılıqları.

Bu qiymətlər uyğun olaraq $E(T4) = 0,347\text{ eV}$, $E(N) = 0,366\text{ eV}$ və $E(T0) = 0,392\text{ eV}$ olmuşdur, başqa sözlə qarşıq məhluldə trietanolaminin miqdarı artırdıqca alınan PbS nazik təbəqəsinin qadağan olunmuş zonası kiçik enerjilər tərəfə sürüsür və trietanolamin iştirak etmədiyən halda bu kəmiyyət özünü maksimum qiymətinə alır.

ƏDƏBİYYAT

1. Ghamsari M.S., Araghi M.K., Farahani S.J. The influence of hydrazine hydrate on the photoconductivity of PbS thin film // Mater. Sci. Eng., B., 2006, v. 133, pp. 113-116.
2. Szendrei K., Cordella F., Kovalenko M.V. et al. Solution-Processable Near-IR Photo-detectors Based on Electron Transfer from PbS Nanocrystals to Fullerene Derivatives // Adv. Mater., Weinheim, Ger., 2009, v. 21, pp. 683-687.
3. Szendrei K., Gomulya W., Yarema M. et al. PbS nanocrystal solar cells with high efficiency and fill factor // Appl. Phys. Lett., 2010, v. 97, p. 203501.
4. Chaudhuri T.K. A solar thermophotovoltaic converter using PbS photovoltaic cell // Int. J. Energy, 1992, res. 16 (6), pp. 481-487.
5. Güneş S. et al. Hybrid solar cells using PbS nanoparticle // Solar Energy Mater. Solar Cells, 2007, v. 91, pp. 420-423.
6. Guglielmi M., Martucci A., Fick J., Vitrant G. Preparation and Characterization of $\text{Hg}_{1-x}\text{Cd}_{1-x}\text{S}$ and $\text{Pb}_{1-x}\text{Cd}_{1-x}\text{S}$ Quantum Dots and Doped Thin Films // J. Sol-Gel Sci. Technol., 1997, v. 11, pp. 229-240.
7. Li H., Liu B., Kam C. et al. Optical nonlinearity of surface-modified PbS and $\text{Cd}_x\text{Pb}_{1-x}\text{S}$ nanoparticles in the femtosecond regime // Proc. SPIE, 1999, v. 3899, pp. 376-383.
8. Tang J., Wang X., Brzozowski L., Barkhouse D.A.R. et al. Schottky Quantum Dot Solar Cells Stable in Air under Solar Illumination // Adv. Mater., 2010, Weinheim, Ger., v. 22, pp. 1398-1402.
9. Tang J., Brzozowski L., Barkhouse D. A. R. et.al. Quantum Dot Photovoltaics in the Extreme Quantum Confinement Regime: The Surface-Chemical Origins of Exceptional Air- and Light-Stability // ACS Nano, 2010, v. 4, pp. 869-878.
10. Luther J.M., Law M., Beard M.C., et al. Schottky Solar Cells Based on Colloidal Nanocrystal Films // Nano Lett., 2008, v. 8 (10), pp. 3488-3492.
11. Ma W., Luther J.M., Zheng H., Wu Y., Alivisatos A.P. Photovoltaic Devices Employing Ternary $\text{PbS}_x\text{Se}_{1-x}$ Nanocrystals // Nano Lett. 2009, v. 9, pp. 1699-1703.

12. Tsang S.W., Fu H., Wang R., Lu J., Yu K., Tao Y. Highly efficient cross-linked PbS nanocrystal / C₆₀ hybrid heterojunction photovoltaic cells // Appl. Phys. Lett., 2009, v. 95, p. 183505.
13. Tsang S., Fu H., Ouyang J., Zhang Y. et al. Self-organized phase segregation between inorganic nanocrystals and PC₆₁BM for hybrid high-efficiency bulk heterojunction photovoltaic cells // Appl. Phys. Lett., 2010, v. 96, p. 243104.
14. Das R.K., Sahoo S., Tripathi G.S. Electronic structure of high density carrier states in PbS, PbSe and PbTe // Semicond. Sci. Technol., 2004, v. 19, № 3, pp. 433-441.
15. Tauc J. (Ed.). Amorphous and Liquid Semiconductors. New York: Plenum Press, 1974, 441 p.
16. Pankove J.I. Optical Process in Semiconductors. USA, New Jersey, 1971, 448 p.
17. Valenzuela-Jauregui J.J., Ramirez-Bon R., Mendoza-Galvan A., Sotelo-Lerma M. Optical properties of PbS thin films chemically deposited at different temperatures // Thin Solid Films, 2003, v. 441, pp.104-110.

Мамед Гусейналиев, Сара Ясинова, Лейла Ибрагимова

ВЛИЯНИЕ КОМПОНЕНТА ТРИЭТАНОЛАМИНА НА ОПТИЧЕСКИЕ СВОЙСТВА ТОНКИХ ПЛЕНОК PbS, ПОЛУЧЕННЫХ ХИМИЧЕСКИМ ОСАЖДЕНИЕМ

Проводится сравнительный анализ оптических свойств тонких пленок PbS при изменении концентрации триэтаноламина в растворе в процессе химического осаждения. Из спектра оптического поглощения определено, что при увеличении дозы триэтаноламина в рабочем растворе, ширина запрещенной зоны тонких пленок PbS сдвигается в сторону малых энергий, и в случае отсутствия триэтаноламина в растворе она получает свое максимальное значение $E(T_0) = 0,392$ эВ.

Ключевые слова: химическое осаждение, тонкая пленка, PbS, триэтаноламин, сравнительный анализ, формула Тауца, функциональная группа, спектр оптического поглощения, запрещенная зона.

Mammad Huseynaliyev, Sara Yasinova, Leyla Ibrahimova

THE INFLUENCE OF TRIETHANOLAMINE COMPONENT ON THE OPTICAL PROPERTIES OF THIN PbS FILMS OBTAINED BY CHEMICAL BATH DEPOSITION

The optical properties of PbS thin films obtained at the result of changing the dose of triethanolamine in the solution in the chemical deposition process analyzed comparatively. According to optical absorption spectrum it was determined, that when the dose of triethanolamine increases in complex solution, forbidden zone of obtained PbS thin films slides towards low energies and in the case of absence of triethanolamine in solution the maximal value of this quantity is $E(T_0) = 0.392$ eV.

Keywords: chemical deposition, thin film, PbS, triethanolamine, comparative analysis, Tauc equation, functional group, optical absorbtion spectrum, band gap.

(Fizika-riyaziyyat elmləri doktoru Səfər Həsənov tərəfindən təqdim edilmişdir)